

Рис. 6. Минерал баотит $\text{Ba}_x\text{Ti}_4(\text{Ti}, \text{Nb})[\text{Si}_4\text{O}_{12}]\text{O}_6\text{Cl}$; а — функция межатомных векторов, проекция на плоскость ab , линии равного уровня значений функции проведены через равные произвольные интервалы; б — проекция распределения электронной плотности на плоскость ab , полученная путём интерпретации функции межатомных векторов и уточнения атомной модели, сгущение линий равного уровня отвечает положениям атомов в структуре; в — проекция атомной модели структуры на плоскость ab в полинговских полиздрах. Атомы Si расположены внутри тетраэдр из атомов кислорода, атомы Ti и Nb находятся в октаэдрах из атомов кислорода. Тетраэдры $[\text{SiO}_4]$ и октаэдры $[\text{Ti}(\text{Nb})\text{O}_6]$ в структуре баотита соединены, как показано на рисунке. Атомы Ba и Cl показаны чёрными и светлыми кружками. Часть элементарной ячейки кристалла, изображённая на рисунках а и б, отвечает на рисунке в квадрату, выделенному штриховыми линиями.

ники выделяют одно или несколько из N исходных изображений структуры. Как правило, для единственного изображения структуры приходится использовать дополнит. копии $P(u, v, w)$. Проблема сводится к поиску необходимых взаимных смещений этих копий. После локализации на суперпозиц. синтезе приближённого распределения атомов в структуре этот синтез может быть подвергнут обращению Фурье и т. о. он позволяет получить фазы структурных амплитуд. Последние вместе с эксперим. значениями $|F_{hkl}|$ используются для построения $p(x, y, z)$. Все процедуры суперпозиц. методов алгоритмизированы и реализованы в автоматич. режиме на ЭВМ. На рис. 6 изображено атомное строение кристалла, установленное суперпозиционными методами по ф-ции Патерсона.

Разрабатываются эксперим. методы определения фаз структурных амплитуд. Физ. основой этих методов служит эффект Реннингера — многолучевая рентг. дифракция. При наличии одноврем. рентг. дифракц. отражений имеет место перекачка энергии между ними, которая зависит от фазовых соотношений между данными дифракц. пучками. Вся картина изменения интенсивностей при этом ограничена угл. секундами и для массовых структурных исследований эта методика практически не приобрела.

В самостоят. раздел Р. с. а. выделяют прецизионные структурные исследования кристаллов, позволяющие получать по дифракц. данным не только модели атомного строения исследуемых соединений, но и количеств. характеристики тепловых колебаний атомов, включая анизотропию этих колебаний (рис. 7) и их отклонения от гармонич. закона, а также пространственное распределение валентных электронов в кристаллах. Последнее важно для исследования связи между атомным строением и физ. свойствами кристаллов. Для прецизионных исследований разрабатываются спец. методы эксперим. измерений и обработки дифракц. данных. В этом случае необходимы учёт одноврем. отражений, отклонений от кинематичности дифракции, принятие во внимание динамич. поправок теории дифракции и др. тонких эффектов взаимодействия излучения с веществом. При уточнении структурных параметров используют метод наим. квадратов, причём важнейшее значение имеет учёт корреляции между уточняемыми параметрами.

Р. с. а. используют для установления связи атомного строения с физ. свойствами сегнетоэлектриков,

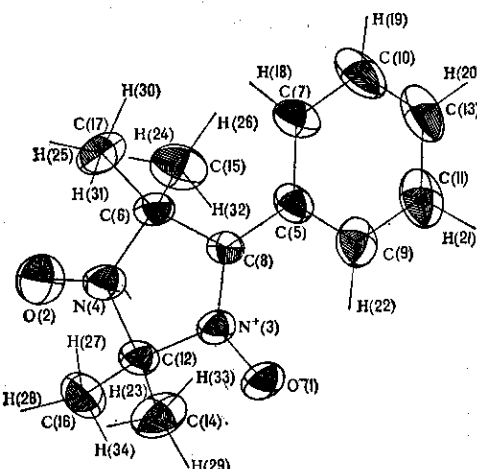


Рис. 7. Эллипсоиды анизотропных тепловых колебаний атомов стабильного нитроксильного радикала $\text{C}_{13}\text{H}_{11}\text{N}_2\text{O}_2$.

суперионных проводников, лазерных и нелинейных оптич. материалов, высокотемпературных сверхпроводников и др. Методами Р. с. а. получены уникальные результаты при исследовании механизмов фазовых переходов в твёрдом теле и биол. активности макромолекул. Так, анизотропия поглощения акустич. воли в монокристаллах парателлурида $\alpha\text{-TeO}_2$ связана с ангармонизмом тепловых колебаний атомов Te (рис. 8). Упругие свойства тетрабората лития $\text{Li}_2\text{B}_4\text{O}_7$, открывающие для него перспективы применения в качестве детектора акустич. волн, обусловлены характером хим. связей в этом соединении. С помощью Р. с. а. исследуют распределение в кристалле валентных электронов, реализующих межатомные связи в нём. Эти связи могут исследоваться с помощью распределения деформаций электронной плотности, представляющей собой разность

$$\delta p(x, y, z) = p(x, y, z) - \sum p_i(x - x_i, y - y_i, z - z_i),$$

где $p(x, y, z)$ — распределение электронной плотности в кристалле, $\sum p_i(x - x_i, y - y_i, z - z_i)$ — сумма сфе-